

9 理想段波の伝播速度に関する検証実験

日本大学工学部 藤田 豊
日本大学工学部 安田 穎輔

まえがき

段波現象を解明することは、河川工学や砂防工学における治水上極めて重要な課題である。この種の研究は 19 世紀末の Ritter による Dam break wave に関する理論的研究に始まり今日まで数多くの研究者によって行われてきたが、発生条件などによって現象が相違することや非線形による解析的取扱いにも限界があるなど現象の解明は未だ充分にはなされていないようであり、今後さらに多くの研究が行われる必要があると考えられる。

本研究では、理想化（モデル化）された段波に対する理論式が實際の段波に対してどの程度適用できるのかを実験的に確かめ、また、適用の際の問題点（ f_{R} の定め方、補正係数の導入）などについて検討した。さらに、ここでは先端部の不連続波面形状についても述べる。

1. 実験装置および測定方法

水路本体は、図-1 に示すように幅 0.2 m、高さ 0.3 m、長さ 10.5 m の水路部と幅 0.2 m、高さ 0.52 m、長さ 2 m の貯水槽部から構成された透明アクリル樹脂製の長方形一様断面水路 ($\lambda = 0$) であり、水路の片側面には $2 \text{ cm} \times 1 \text{ cm}$ に細かくメッシュを刻んである。また、水路下流端に初期水深 H_1 を維持するための取りはずし可能なクリスト（6種類）を設けた。段波発生装置は水路を貯水槽間に設ける鉄板製の引揚げ式ゲートである。

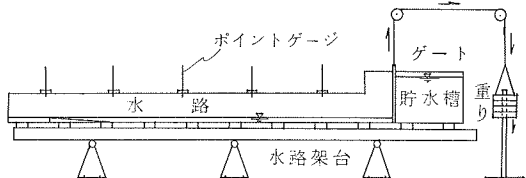


図-1 実験装置

段波はゲートと滑車を通して連結した重り（30 kgf）を自由落下（65 cm）させることによって発生させた。

測定装置は 3 台のドライブカメラ（同時撮影用としてパルス発信器を使用）と 16 ミリカメラを用いた。実験は貯水槽内の水深を 50 cm に定め、初期水深 H_1 だけを 7 種類に変えて行った。段波の水深等の測定はネガフィルムから 1 ミリまで読み取った。なお、読み取り間隔は先端部の不連続波面領域では 2 cm、背面では 10 cm とした。

2. 発生条件

一般的に段波現象は発生条件などによって正段波と負段波に大別されるが、本研究では、上流側ゲートの急開放操作によって生ずる正段波の問題に焦点を絞った。

表-1 はゲートの平均引揚げ速度や引揚げ前半時間など段波の発生条件を示しており、開放操作はほぼ一様であった。

ゲート平均引揚げ速度	1.357~1.500 m/s
ゲートが水面と離れるまでの平均引揚げ距離	36~40 cm
ゲートが水面と離れるまでの所要時間	0.281~0.298 sec
水位差	39.1~49.3 cm
貯留量	0.2 m³

表-1 段波の発生条件

図-2(a), (b)はでかくね段波の発生時の流況を図示したものである。(a)は $Q_1 = 403 \text{ cm}^3/\text{s}$, $h_1 = 2.60 \text{ cm}$ の場合、(b)は $Q_1 = 400 \text{ cm}^3/\text{s}$, $h_1 = 1.59 \text{ cm}$ の場合であり、ゲート開放の瞬間を0秒とし時間経過に伴なって進行する波面形状を示している。これより、初期水深 h_1 が大きい場合は特に、波面形状が乱れは顕著であったが、流下とともにほぼ安定した形状に移行した。しかし、ドライベッドに近い状態では、発生時から形状の乱れは少しく滑かな形状を保つて進行した。

3. h_{\max} , \bar{h}_2 , L_0 , W , W'

図-3に示したように、 h_{\max} は撮影したフィルムより先端部の不連続波面形状やその曲率また、巻込み気泡の状態などを考慮して決めた。 L_0 は各コマ毎に先端部から h_{\max} の点まで区分面積を積み最大のものを選びこれを基に他のコマからも等面積を先端部から除去した後のゲートからの距離であり、これを中核部先端(仮称)とした。また L_0 奥の速度を中核部伝播速度 W とした。 W' は最前端の速度である。 \bar{h}_2 は L_0 奥より背面を 10 cm ~ 20 cm まででかくね平均水深を求め、その値がほぼ安定したところで \bar{h}_2 と決めた。

4. 結果および考察

写真-1は初期条件 $h_1 = 10.9 \text{ cm}$, $Q_1 = 138 \text{ cm}^3/\text{s}$ における段波先端部の 9.0 m 地盤を通過した直後の形状をともえに写真の一例であり、明らかに急変非定常流である。

図-4(a), (b)はでかくね各コマの段波先端部を中核部先端に重ね合わせた形状図であり、

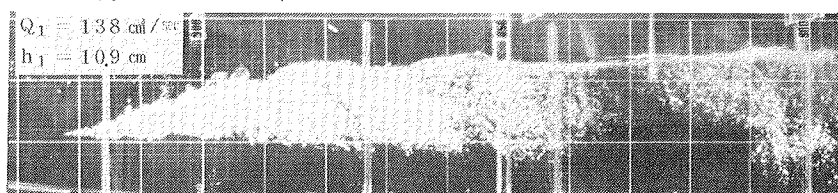


写真-1 段波先端部の流況

実線は段波先端部の不連続波面を放物面と仮定して最小自乗法によって求めた回帰二次曲線である。

これらより、実際の段波先端部の形状は写真-1の例のように不連続で予規則的波面の様相を呈しながら巻込みや逆り波などを繰り返しながら進行するが、全体としては各コマの先端部の形状図を中核部先端で重ね合せてみると平均的には放物面とみなすことができる。

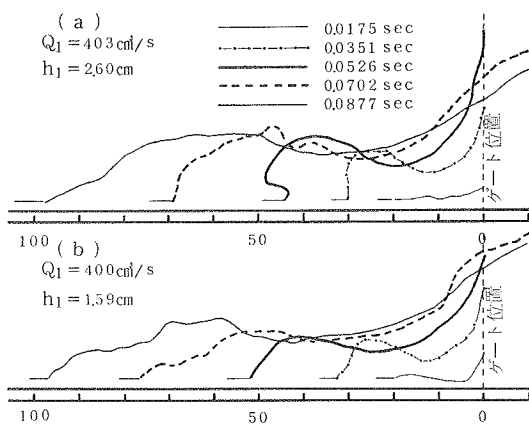


図-2 段波発生時の流況

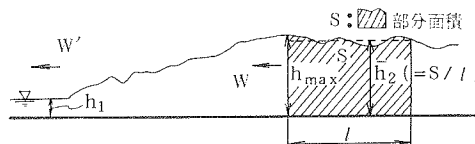


図-3 h_{\max} , h_2 , L_0 の説明図

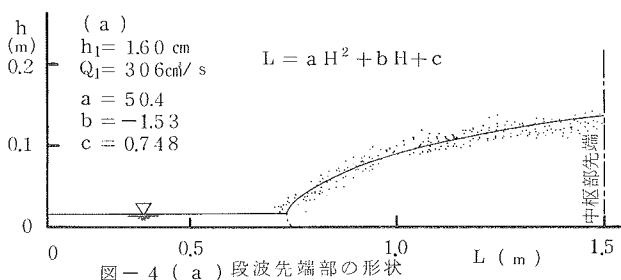


図-4 (a) 段波先端部の形状

本研究では、主に、理想段波式(1)により伝播速度を予測する場合に式中の \bar{h}_2 の定め方や補正係数の導入などを検討するため、上述のようすに h_{max} および \bar{h}_2 を決定し、これらと実測伝播速度より逆算して得られた \bar{h}_2' との比をそれぞれ $k_1 = \bar{h}_2' / h_{max}$ 、 $k_2 = \bar{h}_2' / \bar{h}_2$ として係数を求めた。

$$W = V_1 + \sqrt{g} \bar{h}_1 \left\{ \frac{1}{2} \frac{\bar{h}_2}{\bar{h}_1} \left(\frac{\bar{h}_2}{\bar{h}_1} + 1 \right) \right\}^{\frac{1}{2}} \quad \text{--- (1)}$$

図-5は、 k_1 はそれぞれ h_{max} と \bar{h}_2 の関係 \bar{h}_2 と k_1 との関係であり、実線は最小自乗法によって導いた実験式(2)、(3)である。これらの図から、 k_1 、 k_2 とも h_{max} 、 \bar{h}_2 の大きさにかかわらずほぼ一定の値を示すことが認められる。しかししながら、両者を比較すると k_1 が k_2 よりもバラツキが顕著である。これは h_{max} や先端部 W の変動幅が大きいことによる影響と考えられる。

図-7は時間 T と伝播速度 W との関係であり、細線と太線はそれぞれ先端部の伝播速度 W' と中枢纽先端の伝播速度 W である。こより先端部 W' は進行に伴なつて周期的に巻込みや巻き現象などを繰り返しながら流下するために変動幅がかなり大きいことが分る。一方中枢纽部 W は先端部予測統波面の乱れた領域を除去した地盤のゲートからの距離 L_0 の速度であるので比較的安定している。したがって以降の伝播速度の実測値としては中枢纽先端の速度 W を用いることとする。

図-8は理想段波式(1)の \bar{h}_2 としてそれぞれ h_{max} 、 \bar{h}_2 、 $\bar{h}_1 \cdot h_{max}$ 、 $\bar{h}_2 \cdot \bar{h}_2$ を用いて計算した W と実測値 W を比較した図である。これより、 $\bar{h}_2 \cdot \bar{h}_2$ 、 $\bar{h}_1 \cdot h_{max}$ を用いて計算した W が実測値に比較的良く一致する。

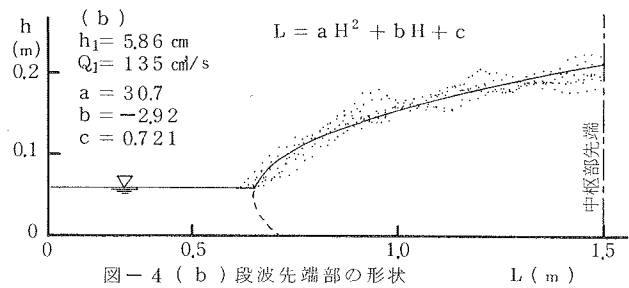


図-4 (b) 段波先端部の形状

L (m)

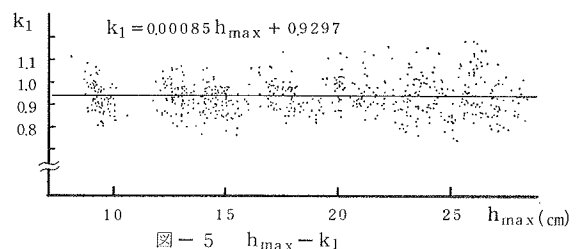


図-5 $h_{max} - k_1$

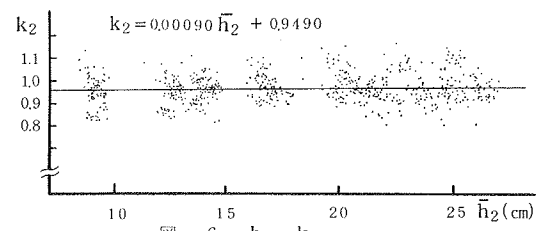


図-6 $h_2 - k_2$

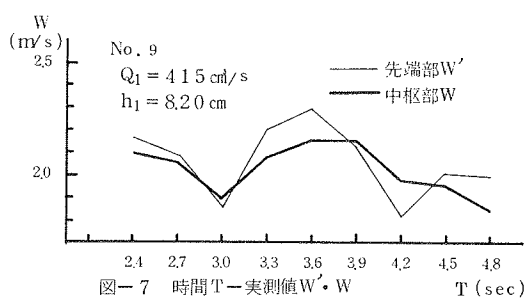


図-7 時間 T -実測値 $W' \cdot W$

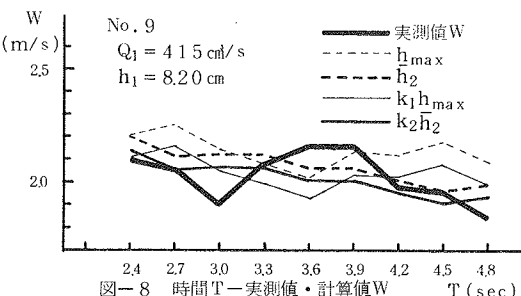


図-8 時間 T -実測値・計算値 W

致することができる。

図-9は波高 h_0 と流下距離 L との関係であり、破線は $\bar{h}_0 = h_{\max} - h_1$ 実線は $\bar{h}_0 = \bar{h}_2 - h_1$ で表わした波高である。両者とも時間経過に伴なって波高が減衰する傾向を示し、特に h_{\max} についてはその傾向が顕著であり、徐々に波形、波高とも安定した状態に移行するものと考えられる。

5. まとめ

本研究において、上流側ゲートの急開放によって生ずる段波について実験的に検討してきたが、これ得られた結果をまとめると次のとおりである。

- (1) 段波発生時の波形の乱れなどは初期水深 h_1 の大小によっていくらかは相違するもののある程度流下すればほぼ一定の形状に移行するものと考えられる。
- (2) 段波先端部の不連続波面形状はほぼ“放物面”のみなすことができる。
- (3) 測定値 h_{\max} ならびに \bar{h}_2 は伝播速度 W 、 W から逆算された h'_2 と相関関係が認められる。
- (4) h_1 および \bar{h}_2 はほぼ一定となり実験式は次のとおりである。

$$\bar{h}_1 = 0.9297 + 0.00085 \bar{h}_{\max} \quad \dots \dots \dots \quad (2)$$

$$\bar{h}_2 = 0.9490 + 0.00090 \bar{h}_2 \quad \dots \dots \dots \quad (3)$$

- (5) 理想段波式(1)の \bar{h}_2 として \bar{h}_2 、 \bar{h}_2 ならびに \bar{h}_1 、 h_{\max} を用いれば伝播速度を比較的正確に予測できるものと考えられる。

<参考文献>

- (1) 土木学会編：水理公式集 S38年増補改訂版
- (2) 横東一郎：水理学Ⅱ、水理学演習(下)，森北出版
- (3) 志村博康：前方水位のない Dam Break Wave のフロントの非粘性解～ゲート急開直後に生ずる流れの研究～，農業土木学会論文集，第60号，1975
- (4) 中川・中村・市橋：段波の発生とその発達に関する研究，京大防災研年報第12号B，1969